



نگرشی نو در چگونگی بکار گیری فیلترهای هیبرید

^۱علی اکبر دنکوب - ^۲حسن رستگار - ^۳علی اصغر قدیمی

^۱دانشگاه آزاد اسلامی واحد اراک - ^۲دانشگاه صنعتی امیر کبیر، دانشکده مهندسی برق - قطب قدرت -

^۳دانشکده فنی و مهندسی دانشگاه اراک

واژه‌های کلیدی: شبکه عصبی RBF ، فیلتر هیبرید ، فیلتر اکتیو ، فیلتر پسیو ، حذف هارمونیک جریان ، هیسترزیس

شوند تولید می گردد. با شبیه سازی در محیط Simulink نرم افزار Matlab نشان داده شده است که کنترل کننده طراحی شده بر پایه شبکه عصبی RBF می تواند به خوبی نیازهای مورد نظر را برآورده سازد.

۱- مقدمه

اتصال بارهای غیر خطی و عدم تعادل در شبکه سه فاز موجب ایجاد هارمونیک و افت ولتاژ هارمونیکی و در نهایت باعث تلفات خواهد شد. استفاده از فیلتر های پسیو همواره به عنوان روشی موثر برای جبران توان راکتیو و بهبود ضریب توان بارهای غیر خطی سیستم قدرت محسوب می شود [۱] ، یکی از بزرگترین محسان فیلترهای پسیو، قیمت بسیار کم آنها می باشد ، اما به دلیل عدم سازگاری با تغییرات دینامیکی بارهای غیر خطی و احتمال تشديد هارمونیک ها به دلیل نوسان سری موازی بين امپدانس فیلتر و امپدانس منبع همچنین تولید توان راکتیو در اثر عدم طراحی مناسب و یا قطع ناگهانی آن در بارهای کم موجب افزایش ولتاژ در محل

چکیده

در این مقاله از یک توپولوژی جدید برای حذف هارمونیک مبتنی بر فیلترهای هیبرید پیشنهاد شده است. سیستم پیشنهاد شده مشخصات بهتری در مقایسه با توپولوژی های فیلتر هیبرید معمولی دارد و برای اغتشاشات هارمونیکی و بارهای غیر خطی فیلتری مناسب است . در فیلتر هیبرید بکار برده شده ، فیلتر پسیو برای حذف هارمونیک های با فرکانس بالا(11 و 13 و 15 و 17) و فیلتر اکتیو برای حذف هارمونیک های با فرکانس پایین(5 و 7 و 9) طراحی شده است. در فیلتر فعال، شبکه عصبی RBF^۱ برای تخمین جریان های هارمونیکی بکار میرود تا بطور اتوماتیک و با سرعت عمل بالا با هرگونه تغییری در بارهای غیر خطی و هارمونیک های تولید شده جریان های جبران سازی مرجع را تخمین زند و این جریان توسط اینورتر که با تعریف باندهای هیسترزیس^۲ کنترل می

^۱ Radial Basis Function

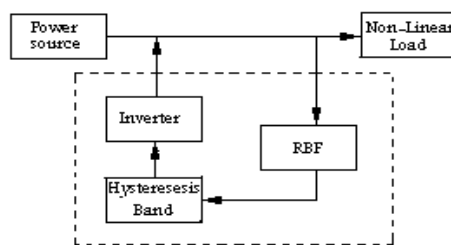
^۲ Hysteresis Band

موازی بکار گرفته شده است و هارمونیک های (۵و۷و۹) را به کمک فیلتر اکتیو حذف می نمایم.

C(μ)	L(mH)	
۲۶/۹۳	۲/۸۶	هارمونیک ۱۱
۱۹/۹۶	۲/۰۵	هارمونیک ۱۳
۱۵/۳۶	۱/۶۳	هارمونیک ۱۵
۱۴/۷۶	۱/۰۶	هارمونیک ۱۷

جدول(۱)- مقادیر L و C فیلتر پسیو برای حذف هارمونیک های مختلف

اصول کلی فیلتر فعال بر پایه تریق جریان های هارمونیکی مورد نیاز بار در اتصال مشترک(pcc)^۴،^۵ بنا نهاده شده است که در شکل(۲) نشان داده شده است. اندازه جریان به اندازه گیری صحیح جریان و ولتاژ بار، محاسبه جریان جبران کننده و استراتژی کلید زنی فیلتر به نحوی که جریان مرجع مورد نیاز ساخته شود بستگی دارد[۶]. در مقاله حاضر روشی با استفاده از شبکه عصبی مصنوعی برای تخمین جریان های هارمونیکی ارائه گردیده است. بدلیل قابلیت پردازش موازی شبکه های عصبی، تاخیر در محاسبه تخمین جریان های هارمونیکی می تواند به شدت کاهش یابد[۷].



شکل(۲)- ساختار فیلتر فعال

همچنین پارامترهای فیلتر فعال بکار برده شده در جدول(۲) آورده شده است.

جدول(۲)- پارامترهای فیلتر فعال

Generator line voltage	200Vrms
Generator frequency	50Hz
Source inductance	0.1mH
Filter inductance, Lf	4.5mH
Filter DC capacitor ,CDC	15μF
DC reference voltage, Vdcr	700V

^۴ Point of Common Coupling

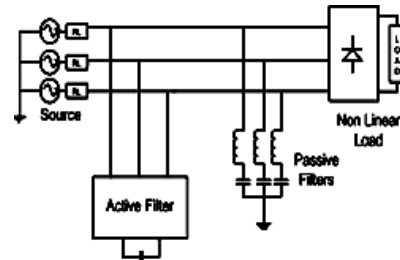
اتصال شبکه می شود، یکی دیگر از معایب فیلترهای پسیو ابعاد بزرگ آن است [۲و۳].

با توجه به معایب گفته شده و با پیشرفت قابل ملاحظه در کلیدهای قدرت سریع مانند IGBT^۱ و GTO^۲، جایگزینی فیلترهای اکتیو به جای فیلترهای پسیو و مزایای فراوان فیلتر های اکتیو در حذف و کاهش هارمونیک های ولتاژ و جریان بار در شبکه های قدرت مورد توجه و کاربرد عملی فراوان قرار گرفته است [۴].

۲- فیلتر هیبرید^۳

به منظور بهره گیری از مزایای هر دو نوع فیلتر از ترکیب دو فیلتر اکتیو و پسیو و به کار بردن همزمان آنها در سیستم های قدرت که با نام هیبرید موسوم می باشد ، استفاده گردیده است. این فیلترها مزایای هر دو فیلتر اکتیو و پسیو را همزمان داشته ولی معایب آنها را ندارند[۵]. قیمت کم و بازده بیشتر نیز از دیگر ویژگیهای این نوع فیلترها میباشد[۵].

ساختارهای بسیار متنوعی برای فیلترهای هیبرید پیشنهاد شده است که در این مقاله از فیلتر هیبرید موازی مطابق شکل (۱) استفاده شده است .



شکل(۱)- ساختار فیلتر هیبرید موازی

با توجه به ساختار سیستم و بررسی هارمونیک های موجود در آن مقادیر فیلتر پسیو مانند جدول(۱) انتخاب شده است، اما از آنجاییکه از فیلتر پسیو برای حذف هارمونیک های (۱۱و۱۳و۱۵و۱۷) استفاده می شود، چهار شاخه فیلتر پسیو

^۱ Gate Turn Off (thyristor)

^۲ Insulated Gate Bipolar Transistor

^۳ Hybrid Filter

پایدار کمتر از شبکه های دیگر است [۹]. مزیت دیگر شبکه های RBF به شبکه های دیگر زمان طراحی کوتاه تر آن است [۹].

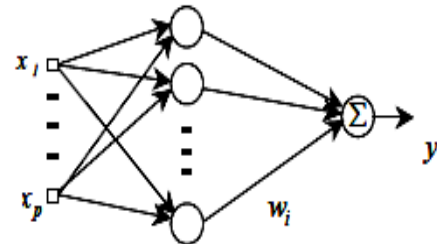
۴- تخمین جریان های هارمونیکی توسط شبکه عصبی
روشهای متعددی جهت شناسایی و استخراج هارمونیک ها مورد استفاده قرار می گیرند که به روشهای حوزه فرکانس، زمان و زمان- فرکانس تقسیم می شوند. در این بین روش های تبدیل فوریه سریع(FFT)^۱ و شبکه عصبی(ANN)^۲ در حوزه فرکانس، تئوری قاب مرجع p-q-d^۳ و تئوری توان اکتیو و راکتیو لحظه ای (p-q^۴) در حوزه زمان و روشهای دیگر متنوعی وجود دارند. عمدۀ این روشهای محاسبات نسبتاً زیادی برای رسیدن به جریان مرجع فیلتر نیاز دارند و اکثراً جریان مورد نظر را با تاخیر محاسبه میکنند [۱۴].

در این روش جریان بار را می توان شامل تمام هارمونیک ها از جمله هارمونیک اصلی در نظر گرفت که هارمونیک اصلی آن از شبکه تامین می شود و بقیه هارمونیک های بار همان جریان مرجع فیلتر اکتیو خواهند بود. از طرفی فرکانس تغییرات هارمونیک های غیر اصلی در بار بالاتر بوده و تعداد و مقدار این هارمونیک ها نیز در حالت کلی مشخص نیست، بنابراین انتخاب این هارمونیک ها به عنوان هدف (خروجی) شبکه عصبی مناسب به نظر نمی رسد. ولی اگر یافتن هارمونیک اصلی بار را بعنوان هدف (خروجی) شبکه عصبی در نظر بگیریم، این هدف بهتر خواهد بود و بسادگی می توان با داشتن جریان بار و هارمونیک اصلی مربوطه، مجموع سایر هارمونیک های آنرا بدست آورد. بنابراین هارمونیک اصلی بار به عنوان خروجی مورد نظر شبکه عصبی انتخاب کرد و ورودی های شبکه عصبی نمونه های جریان اندازه گیری شده بار می باشند.

^۱ Fast Fourier Transformation^۲ Artificial Neural Network^۳ Synchronous Reference Frame^۴ Instantaneous reactive power theory

۳- شبکه عصبی RBF

یکی از قدرتمند ترین شبکه های عصبی مورد استفاده در مسائل تخمین، شبکه عصبی RBF است. شبکه RBF از سه لایه ثابت تشکیل شده است. لایه ورودی که محل تزریق سیگنال های ورودی به شبکه است؛ لایه میانی یا طبقه RBF که شامل توابع RBF می شود، و لایه خروجی که ترکیبی خطی از کلیه خروجی های طبقه RBF را می سازد. ساختمان یک شبکه RBF در شکل (۳) مشاهده می شود. عملیاتی که در این شبکه انجام می شود در فرم ماتریسی به صورت (۱) و (۲) و (۳) است [۹,۸].



شکل (۳)- ساختار شبکه عصبی RBF

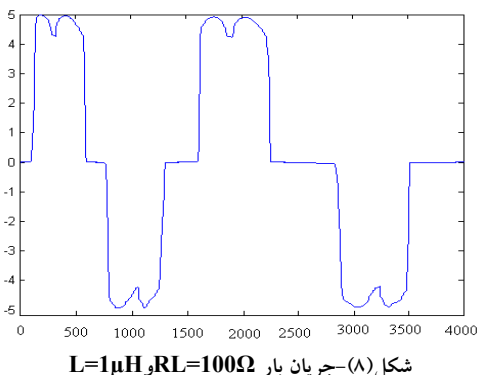
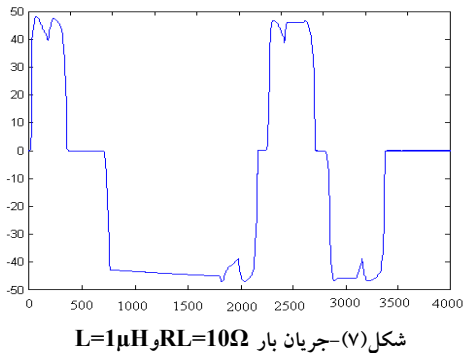
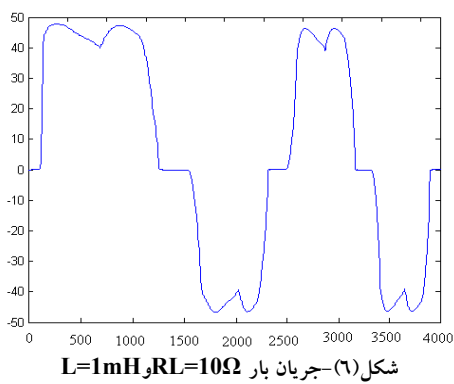
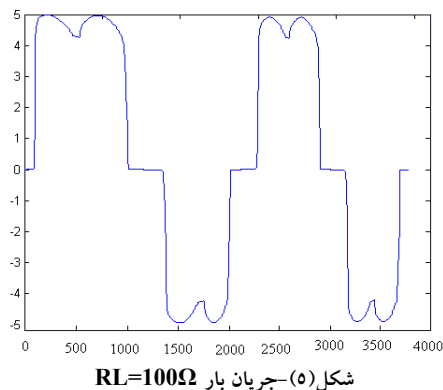
(۱)

$$\phi_j(x) = \exp\left(-\frac{\|x - c_j E\|}{2\sigma_j^2}\right), (j=1,2,\dots,n)$$

$$\varphi_j = \text{Exp} \left(\frac{-1}{2\sigma_j^2} \|p - c_j\|^2 \right) \quad (2)$$

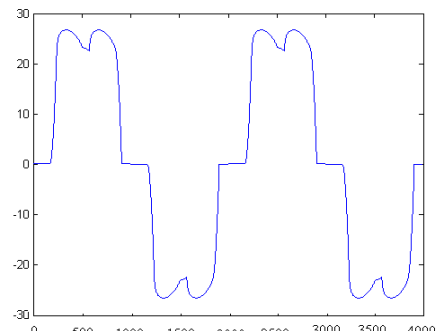
$$d_i(p) = \sum_{j=1}^N \varphi_j(p) \cdot w_{ij} \quad (3)$$

که در آن $d_i(p)$ خروجی ایام شبکه و φ_j خروجی گره RBF زام به ازای بردار ورودی p است، w_{ij} نیز اتصال سیناپسی میان آن دو است. تعداد کل نورون های لایه پنهان نیز N است بردار c_j را مرکز گوسی می نامیم و σ_j نیز مشخص کننده میزان گستردگی گوسی است. وجود یکسان بودن نمونه های ورودی - خروجی بکار رفته در تعلم شبکه های عصبی دیگر، شبکه عصبی از نوع RBF بهتر تعلم دیده و دارای عملکرد بهتری می باشد [۸]. میزان خطای شبکه RBF هم در شرایط گذرا و تغییرات شدید و هم در حالت



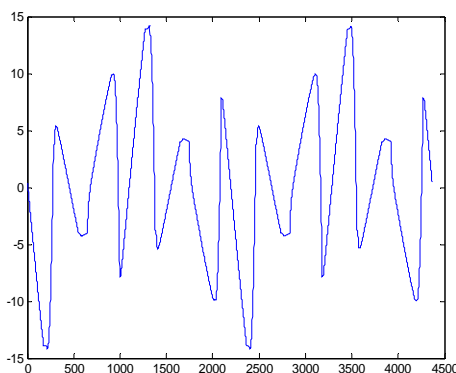
همچنین ماتریس هدف^۱ و پارامتر گسترده‌گی^۱ عرض محدوده ای را که نرون نسبت به آن عکس العمل نشان می‌دهد و

انتخاب شکل موج مناسب جهت آموزش شبکه از اهمیت فوق العاده ای برخوردار است. هر چقدر این شکل موج دارای مشخصات متداول تری از نظر تعداد و مقدار هارمونیک‌های جریان باشد، کارایی شبکه در برخورد با شکل موج‌های ناشناخته افزایش می‌یابد. شکل موج مورد استفاده بگونه‌ای است که طیف وسیعی از هارمونیک‌ها را در بر می‌گیرد که این موضوع توانایی شبکه در برخورد با یک شکل موج دارای هارمونیک‌های مختلف را افزایش خواهد داد. ورودی شبکه عصبی جریان و ولتاژ بار است که در شکل (۴) نشان داده شده است و ولتاژ بار همان ولتاژ منبع است، با توجه به فرکانس نمونه برداری انتخاب شده که برابر 5000 Hz است تعداد 100 نمونه در هر سیکل از شکل موج 50 Hz اخذ می‌گردد، تعداد 20 نمونه قبلی به عنوان ورودی شبکه عصبی، علاوه بر نمونه اندازه گیری شده در نظر گرفته می‌شود.

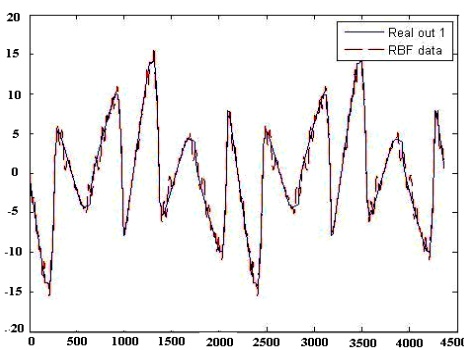


نمونه‌های استفاده شده جهت آموزش شبکه از روش تئوری توان لحظه‌ای (p-q)[۱۵] بدست آمده است. داده‌ها از 2 دوره تناوب یکی در فاصله زمانی 0.004 تا 0.006 و 0.008 تا 0.010 که در هر دوره تناوب 2000 نمونه گرفته شده است. برای آموزش شبکه عصبی از 10 بار مختلف و متفاوت استفاده شده است تا عملکرد شبکه عصبی بهتر و دقیق‌تر شود، و تنها چهار نمونه از جریان بارهای استفاده شده جهت آموزش شبکه عصبی در شکل‌های (۵) و (۶) و (۷) و (۸) نمایش داده شده است.

^۱ Target

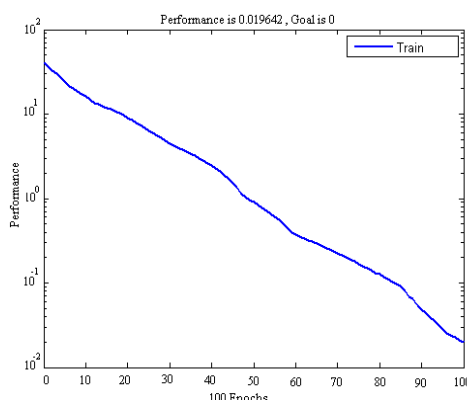


شکل (۹)- خروجی شبکه عصبی



شکل (۱۰)-نمایش همزمان خروجی شبکه عصبی و خروجی مطلوب

در شکل(۱۱) مراحل آموزش شبکه و همچنین خطای حاصل از شبکه RBF با خروجی ایده آل نمایش داده شده است .



شکل (۱۱)-آموزش شبکه و خطای خروجی

۵- تئوری توان اکتیو و راکتیو لحظه ای

اطلاعات و نمونه های مورد نیاز جهت آموزش شبکه عصبی RBF از این تئوری بدست آمده است. در این مقاله ابتدا این

پارامتر Goal را به عنوان ورودی دریافت می کند. در این مقاله مقدار Goal را صفر (به صورت پیش فرض^۲) زیرا میتواند یک شبکه با خطای صفر با استفاده از بردارهای ورودی ایجاد کند و مقدار Spread را ۲۰ در نظر گرفته شده است، هر چه این مقدار به اندازه کافی بزرگ انتخاب شود نرون RBF توانایی عکس العمل روی نواحی همپوشانی از فضای ورودی را دارد. البته اگر این پارامتر بیش از اندازه بزرگ انتخاب شود همه نرون ها رفتار مشابه ای خواهد داشت که اثر مطلوبی در روند آموزش نخواهد داشت. مقدار ۲۰ بهترین حالت ممکنه است زیرا خطای حداقل می رسد. در شبکه عصبی مورد استفاده حداقل تعداد نرون ۱۰۰ در نظر گرفته شده است که توابع انتقال آنها گوسی که به بصورت زیر تعریف می شود است:

$$Radbas(n) = e^{-n^2} \quad (4)$$

روش کار بدین صورت است که در هر مرحله تکرار آموزش^۳ در صورت بالا بودن خطای شبکه یک نرون به شبکه اضافه می شود و دوباره خطای مربوطه به شبکه جدید چک می گردد، اگر این خطای کمتر از میزان هدف تعیین شده باشد تکرار پایان می پذیرد. در غیر این صورت نرون جدید دیگری اضافه می شود. این رویه آنقدر تکرار می شود تا به مقدار هدف تعیین شده بررسیم یا اینکه تعداد نرون های شبکه به حداقل مقدار تعیین شده اش که ۱۰۰ در نظر گرفته شده برسد.

خروجی شبکه عصبی در شکل(۹) آمده است، همان گونه که در شکل مشاهده می شود پاسخ شبکه رضایت بخش می باشد زیرا خطای بین خروجی مطلوب(Real out) که به روش تئوری توان اکتیو و راکتیو لحظه ای محاسبه شده است با خروجی شبکه عصبی(RBF Data) تفاوت چندانی ندارد که در شکل (۱۰) نشان داده شده است.

^۱ Spread

^۲ Default

^۳ Epoch

مقدار IL و VL در زمان مشخص به عنوان ورودی و IC جریان جرمانسازی به عنوان خروجی است.

جدول(۳)- هشت نمونه داده استفاده شده جهت آموزش شبکه عصبی

RBF			
T	IL	VL	IC
0.045	23.732	308.348	-3.307
0.050	0.00	0.00	-0.344
0.055	-23.732	-308.348	3.867
0.060	0.00	0.00	0.344
0.065	23.732	308.348	-3.307
0.070	0.00	0.00	-0.344
0.075	-23.732	-308.348	3.708
0.080	0.00	0.00	-0.344

۶- روش کنترل جریان باند هیسترزیس

پس از تعیین جریان های مرجع در فیلتر اکتیو باید اقدام به ساخت آنها نمود. یکی از روشهای کنترل جریان ، استفاده از باند هیسترزیس است که پهنهای پالس آتش را برای گیت های مبدل فیلتر اکتیو تعیین می کند . از مزایای شاخص این روش، کنترل جریان، پایداری مناسب، پاسخ بسیار سریع، دقیق بالا، پیاده سازی آسان، قابلیت ذاتی محدود سازی پیک جریان و عدم حساسیت به تغییرات پارامترهای بار می باشد[۱۶]. از نقاط ضعف روش کنترل جریان باند هیسترزیس می توان به افزایش تلفات در توانهای بالا و فرکانس کلید زنی متغیر که باعث ایجاد نویزهای صوتی و هارمونیکهای کلید زنی در خروجی مبدل می شود اشاره کرد [۱۶]. مزایای انکار ناپذیر این روش آن را به مطلوب ترین روش کنترل جریان برای مبدل های منبع ولتاژ تک فاز و سه فاز تبدیل کرده است[۱۶]. در این روش سیگنال خطای حاصل از مقایسه جریان مرجع و جریان تولیدی توسط مبدل مطابق بلوک شکل(۱۲) درین یک باند کنترلی فرضی که جریان مرجع را در بر گرفته است کنترل می شود.

$$e = i_c^* - i_{apf(actual)} \quad (9)$$

تئوری شبیه سازی شده است سپس نمونه های جریان و ولتاژ بار و جریان جرمانسازی استخراج شده است. توان حقیقی لحظه ای مدار سه فاز(p)، می تواند به صورت زیر محاسبه شود:

$$P = \vec{e} \cdot \vec{i} \quad , \quad P = e_a i_a + e_b i_b + e_c i_c \quad (5)$$

تئوری توان راکتیو لحظه ای(q) در مختصات بصورت زیر قابل تعریف می باشد:

$$q = e \times i = \begin{bmatrix} q_a \\ q_b \\ q_c \end{bmatrix} = \begin{bmatrix} e_b & e_c \\ i_b & i_c \\ e_c & e_a \\ i_c & i_a \\ e_a & e_b \\ i_a & i_b \end{bmatrix} \quad (6)$$

و می تواند در رفرنس $O-\alpha-\beta$ بصورت زیر تعریف گردد:

$$\begin{bmatrix} p \\ q_0 \\ q_\alpha \\ q_\beta \end{bmatrix} = \begin{bmatrix} e_0 & e_\alpha & e_\beta \\ 0 & -e_\beta & e_\alpha \\ e_\beta & 0 & -e_0 \\ -e_\alpha & e_0 & 0 \end{bmatrix} \begin{bmatrix} i_0 \\ i_\alpha \\ i_\beta \end{bmatrix} \quad (7)$$

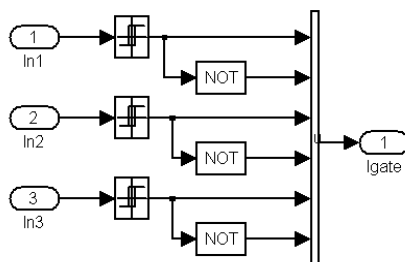
جریان فیلتر اکتیو بصورت زیر قابل بیان خواهد بود:

$$\begin{aligned} i_{ca} &= i_{La} - \frac{e_a \cdot p}{(e_a^2 + e_b^2 + e_c^2)} \\ i_{cb} &= i_{Lb} - \frac{e_b \cdot p}{(e_a^2 + e_b^2 + e_c^2)} \\ i_{cc} &= i_{Lc} - \frac{e_c \cdot p}{(e_a^2 + e_b^2 + e_c^2)} \end{aligned} \quad (8)$$

که i_{La}, i_{Lb}, i_{Lc} جریان های بار و i_{ca}, i_{cb}, i_{cc} جریان های جرمان سازی می باشند.

هشت نمونه از ۴۳۸۸ نمونه بکار برده شده در آموزش شبکه عصبی به فرم ماتریسی در جدول(۳) نشان داده شده است.

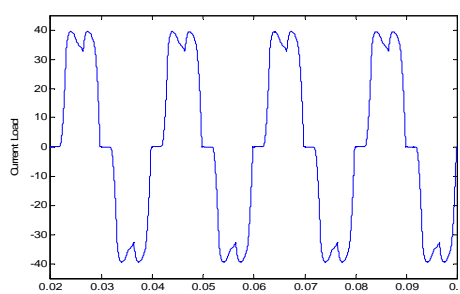
هر چه محدوده باند هیسترزیس را کاهش دهیم ، درصد خطای کم شده ولی فرکانس سوئیچینگ اینورتر افزایش می یابد. در شکل(۱۴) مدار فرمان برای تولید پالسهای PWM^۱ برای گیت اینورتر نشان داده شده است.



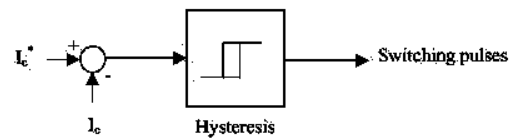
شکل(۱۴)- مدار فرمان

۷-نتایج شبیه سازی

شبیه سازی این مدل در محیط Simulink نرم افزار MATLAB انجام گرفته است. این شبیه سازی برای یک بار یکسو ساز پل سه فاز دیودی با بار اهمی صورت گرفته است که یک بانک اینورتری شامل شش مبدل تک فاز منبع ولتاژ، جریان مرجع شناسایی شده را تولید و به خط توزیق می کند . اینورتر شامل شش سوئیچ IGBT می باشد. نتایج شبیه سازی در شکل(۱۵) جریان بار ، شکل(۱۶) جریان جبران سازی تولیدی توسط فیلتر اکتیو و شکل(۱۷) جریان کشیده شده از منبع پس از پس از جبران سازی فیلتر هیبرید است را نشان می دهد .



شکل(۱۵)- جریان مصرفی بار قبل از جبران سازی

^۱ Pulse Width Modulation

شکل(۱۲)- بلوک محدود کننده هیسترزیس

اندازه باند هیسترزیس ، اندوکتانس مایبن مبدل و شبکه و ولتاژ خازن DC در تعیین فرکانس سوئیچینگ نقش مؤثری ایفا می کند [۱۷].

بالاترین فرکانس کلید زنی عبارتست از [۱۸]:

$$f_{sw(max)} = \frac{V}{9HB \cdot L} \quad (10)$$

که HB حد هیسترزیس و L مقدار اندوکتانسی است که جریان بوسیله آن توزیق می شود.

همان گونه که در شکل(۱۳) می توان دید شبیب صعودی و نزولی خطابا اعمال ولتاژ +V_o و -V_o ایجاد میشود.

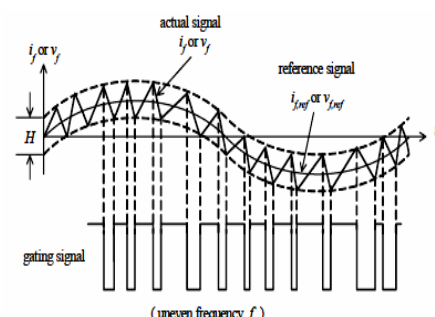
$$\frac{d i_c}{dt} = \frac{1}{L} (|V_g| + V_o) \quad (11)$$

$$\frac{d i_c}{dt} = \frac{1}{L} (|V_g| - V_o) \quad (12)$$

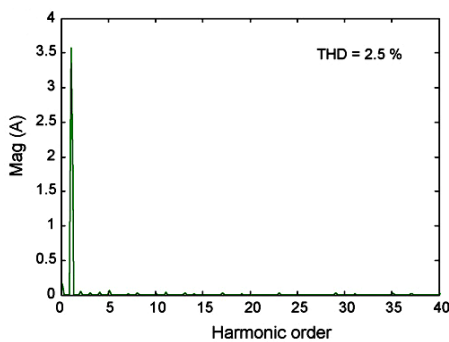
مشاهده میشود اختلاف ولتاژ اعمالی به اندوکتانس در طی دو نیم سیکل سوئیچینگ برابر V_o^2 می باشد.

$$\Delta V_{bipolar} = |V_g| + V_o - (|V_g| - V_o) = 2V_o \quad (13)$$

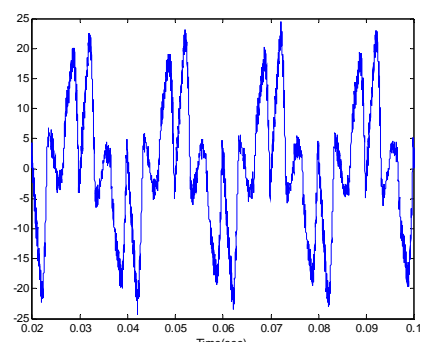
که با نرخ تماس سیگنال خطابا با باندها (فرکانس سوئیچینگ) نسبت مستقیم دارد.



شکل(۱۳)- کنترل جریان به روش باند هیسترزیس

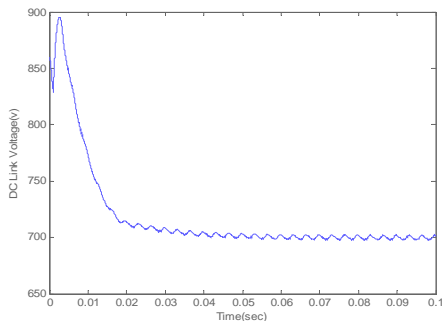


شکل(۱۹)-طیف هارمونیکی جریان منبع بعد از جبران سازی فیلتر هیبرید



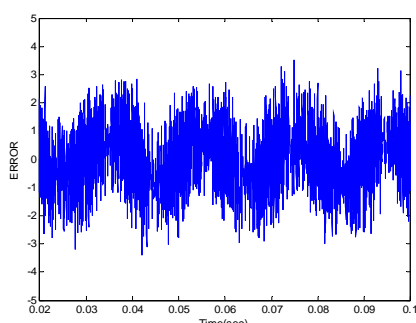
شکل(۱۶)-جریان تولیدی توسط فیلتر اکتیو

در شکل (۲۰) ولتاژ دو سر خازن DC و عملکرد رگلاتور ولتاژ شاخه DC را نشان می دهد.



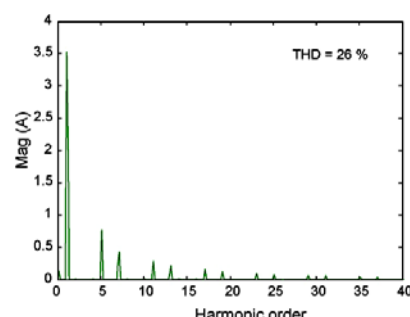
شکل(۲۰)-ولتاژ شاخه DC

در مورد عملکرد فیلتر اکتیو، مقایسه بین شکل موج مرجع و شکل موج تولیدی توسط فیلتر اکتیو در شکل (۲۱) آمده است که اختلاف ناچیز حکایت از ردیابی دقیق جریان توسط فیلتر اکتیو می کند.



شکل(۲۱)-خطای بین جریان مرجع و جریان ساخته شده توسط مبدل

با مقایسه طیف فرکانسی جریان بار و جریان منبع ملاحظه می شود THD^۱ قبل از اعمال فیلتر هیبرید ۲۶٪ در جریان بار بوده است و با اعمال فیلتر هیبرید به ۲۵٪ در جریان منبع جبران سازی شده رسیده است که در شکل های (۱۸) و (۱۹) نشان داده شده است.



شکل(۱۸)-طیف هارمونیکی جریان بار

^۱ Total Harmonic Distortion

۸-نتیجه گیری

در این مقاله از فیلتر هیبرید موازی برای حذف هارمونیک استفاده شده است.

در مقاله حاضر به علت استفاده از فیلتر پسیو برای حذف هارمونیک هایی با فرکانس بالا اندازه و ابعاد فیلتر پسیو کاهش چشمگیری داشته است.

همچنین به علت استفاده از فیلتر اکتیو برای حذف هارمونیک هایی با فرکانس پایین، تلفات کلید زنی پایین آمده است.

با بهره گیری از روش کنترل هیسترزیس و استفاده از شبکه عصبی برای تخمین جریان های هارمونیکی در فیلتر فعال، همچنین بکار گیری از فیلترهای پسیو، کیفیت جریان در شبکه های توزیع با کیفیتی بالا و حداقل تلفات امکان پذیر می باشد. فیلتر هیبرید طرح شده در این مقاله جهت انسداد و جداسازی مؤلفه های هارمونیکی و جریان و عاری سازی شبکه از این اختلالات کاملاً مؤثر عمل کرده و نتایج بدست آمده از شبیه سازی ها کاملاً منطبق با استاندارد IEEE519^۱ میباشد.

۹-مراجع

- [5] Y. Wang, Z. Wang, J. Yang, J. Liu, Z. Fu, Y. Duan, Y. Hua, "A new hybrid parallel active filter", IEEE 34th Conf. on Power Electronics Specialist, Vol. 3, June 2003, pp. 1049-1054.
- [6] Djaffar OULD ABDESLAM, Jean MERCKLE , Patrcce WIRA , Domien FLIELLER , " Harmonic identification based on ANN : A comparative study ", 9th International Conf on Engineering Applications of Neural Networks-(EANN 2005), Lille , France, Aug 2005.
- [7] T.Ruban Deva , Kesavan Nair " ANN Based Control Algorithm for Harmonic Elimination and Power Factor Correction Using Shunt Active Filter " International Journal of Electrical and Power Engineering 1(2),(2007 Elsevier),pp. 152-157.
- [8] Wang Xuhong , Xiao Jinhua " RBF NEURAL NETWORK BASED PREDICTIVE CONTROL OF ACTIVE POWER FILTER " ,TENCON IEEE Region, 10th Conf, Vol. 4, Nov 2004, pp. 109-112.
- [9] Shaosheng Fan, Xuhong Wang, and Yushen Zhou "Neural Network based Predictive Control for Active Power Filter " , IECON IEEE, 30th Conf , Vol. 1, MAY 2005, pp. 822- 826.
- [10] Ametani, A. "Harmonic reduction in thyristor Converters by harmonic current injection".IEEE Trans 8 , Vol. 95, Mar 1976, pp. 441-449.
- [11] Rukonuzzaman, M. and Nakaoka, M., "An advanced active power filter with adaptive neural network based harmonic detection scheme" IEEE Power Electronics Specialist conference, PESC, Vol. 3, Aug2002, pp. 1602 – 1607.
- [12] Benhabib, M.C. and Saadate, S. "New Control approach for four-wire active power filter based on the use of synchronous reference frame" ELSEVIER Electric power systems, vol. 73,(2008 Elsevier),pp. 353-362.
- [13] Akagi, H. Kanazawa, Y. and Nahae, A. "Instantaneous reactive power compensators comprising switching devices without energy storage components", IEEE Trans on., Vol 20,May 1984, , pp. 625-630.

[1] H. Akagi, S. Srianthumrong, Y. Tamai,

"Comparisons in circuit configuration and filtering performance between hybrid and pure shunt active filters" , IEEE 38th Conf. on Industry Applications, Vol. 2, Oct. 2003, pp. 1195-1202

[2] Chinyao Low , Ying-Pin Chang , Shih-Yu Hung,"An application of sequential neural-network approximation for sitting and sizing passive harmonic filters ",Expert Systems with Applications (2008 Elsevier), pp. 2910–2920

[3] L. Chen, A.V. Jouanne, "A comparison and assessment of hybrid filter topologies and control algorithms", IEEE 32th Conf.on Power Electronics Specialists, Vol. 2, June 2001, pp. 565-570.

[4] D. Rivas, L. Moran, J. Dixon, J.R.Espinoza, "Improving passive filter compensation performance with active techniques", IEEE Trans. on Industrial Electronics, Vol. 50, Feb 2003, pp. 161-170.

^۱ Institute of Electrical and Electronics Engineers

- [14] s.valiviita and s.j.ovasaka," Delayess Method to Generate Current References for Active Filters", IEEE Trans on ,Vol.45 ,1998, pp. 559-567.
- [15] J.M.M.Ortaga , A.T.Lora, M.B.Payan and C.L.Mitchell, " Reference Current Errors of Instantaneous p-q based Methods for Active Filters",IECON02,IEEE 28th conf, Vol.1, Nov2002, pp.721-726.
- [16] Kale, Murat, Ozdemir, Engin, "An adaptive hysteresis band current Controller for shunt active power filter". ELSEVIER Electric Power Systems. Vol.73, (2005 Elsevier), pp.113-119.
- [17] Rukonuzzaman, M. and Nakaoka,M. "Single-phase shunt active power filter with harmonic detection" Electric Power Applications, IEE Proceedings, Vol.149 ,Sep 2002, pp 343- 350.
- [18] Qiao, chongming. and Smedley. Keyue. Ma," Three phase bipolar mode active power fillers", IEEE Trans. Ind, App1. vol.38, Feb 2002,pp 149-158.